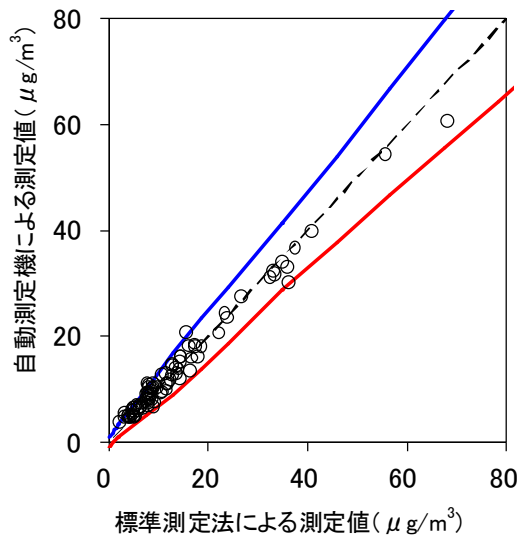


# ① MP101M (Environnement S.A)

## A : グループごとに $P_R$ を最大化する方法

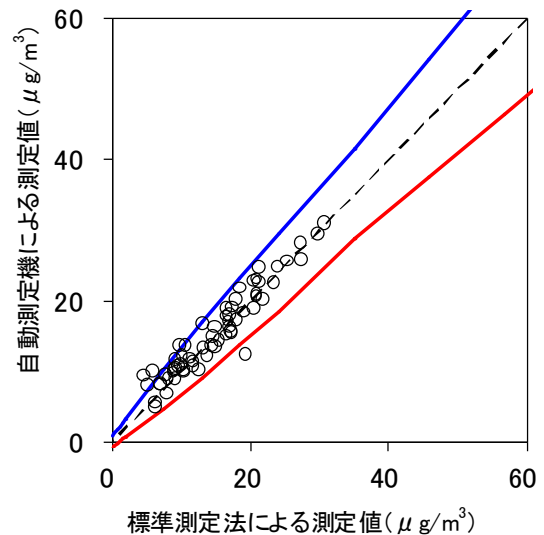
グループ 1 による評価

機種名	Model MP101M(CPM)・冬季
有効測定日数	97
自動測定機の有効データ数	85
ハズレ値の個数	6
r	12
K	1.784
傾き	0.91



Model MP101M(CPM)の冬季における管理限界線との関係

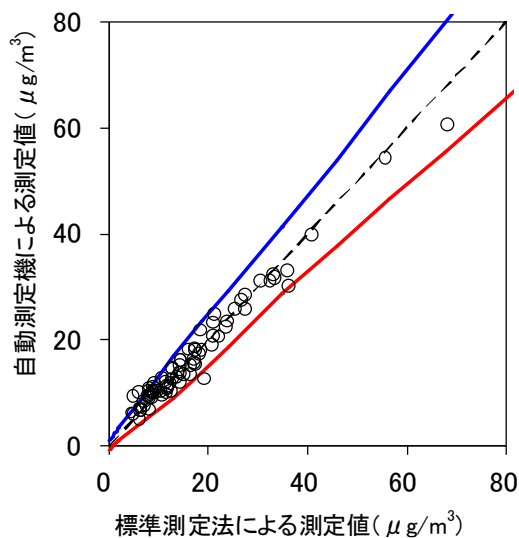
機種名	Model MP101M(CPM)・夏季
有効測定日数	72
自動測定機の有効データ数	63
ハズレ値の個数	5
r	9
K	1.823
傾き	0.93



Model MP101M(CPM)の夏季における管理限界線との関係

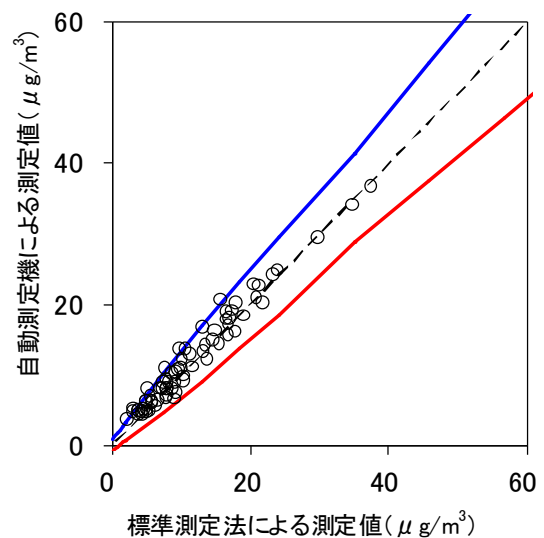
グループ 2 による評価

機種名	Model MP101M(CPM)・都市部
有効測定日数	86
自動測定機の有効データ数	77
ハズレ値の個数	4
r	11
K	1.791
傾き	0.90



Model MP101M(CPM)の都市部における管理限界線との関係

機種名	Model MP101M(CPM)・非都市部
有効測定日数	83
自動測定機の有効データ数	71
ハズレ値の個数	7
r	10
K	1.813
傾き	0.98



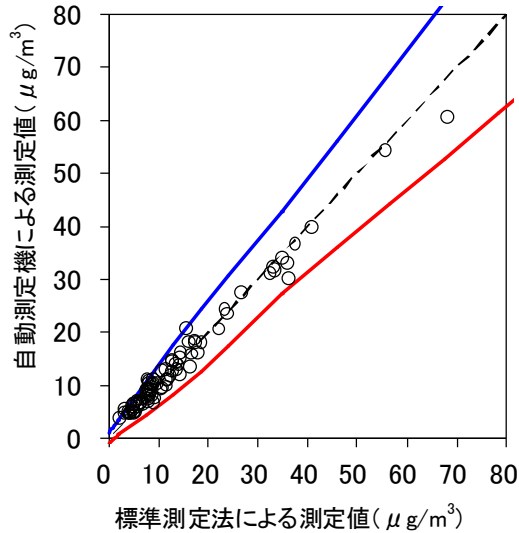
Model MP101M(CPM)の非都市部における管理限界線との関係

## B : グループごとに $P_R$ を固定する方法

### (1) $\alpha = \alpha'_1$ の場合

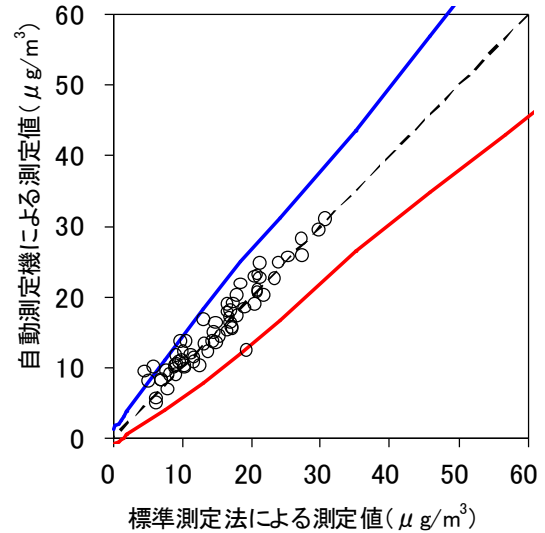
グループ 1 による評価

機種名	Model MP101M(CPM)・冬季
有効測定日数	97
自動測定機の有効データ数	83
ハズレ値の個数	4
r	7
K	2.185
傾き	0.91



Model MP101M(CPM)の冬季における管理限界線との関係

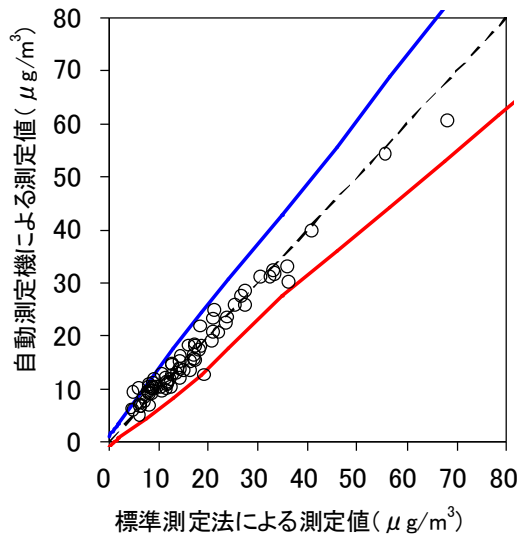
機種名	Model MP101M(CPM)・夏季
有効測定日数	72
自動測定機の有効データ数	63
ハズレ値の個数	3
r	4
K	2.428
傾き	0.93



Model MP101M(CPM)の夏季における管理限界線との関係

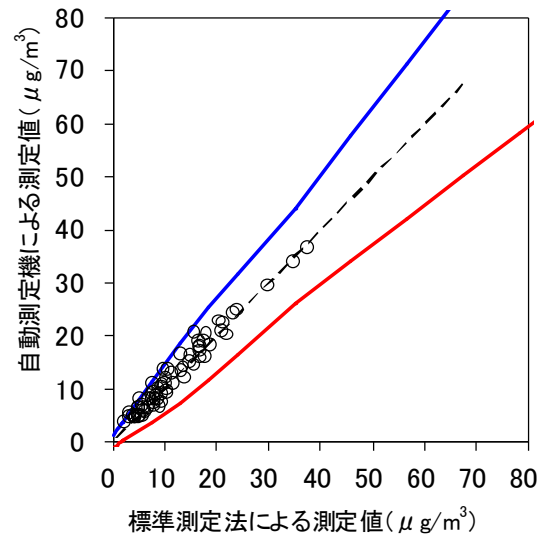
グループ 2 による評価

機種名	Model MP101M(CPM)・都市部
有効測定日数	86
自動測定機の有効データ数	76
ハズレ値の個数	3
r	7
K	2.156
傾き	0.90



Model MP101M(CPM)の都市部における管理限界線との関係

機種名	Model MP101M(CPM)・非都市部
有効測定日数	83
自動測定機の有効データ数	70
ハズレ値の個数	1
r	3
K	2.573
傾き	0.98

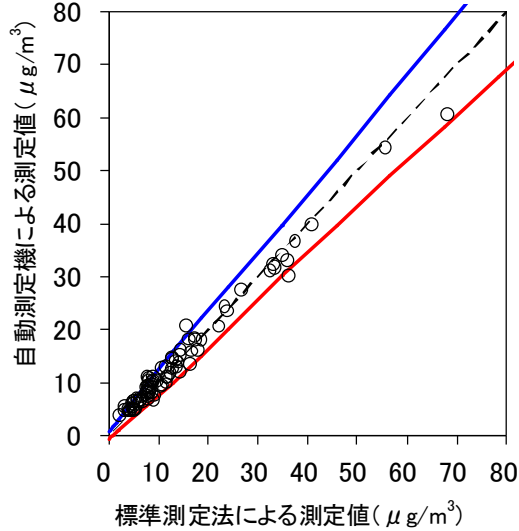


Model MP101M(CPM)の非都市部における管理限界線との関係

(2)  $\alpha = \alpha'_2$ の場合

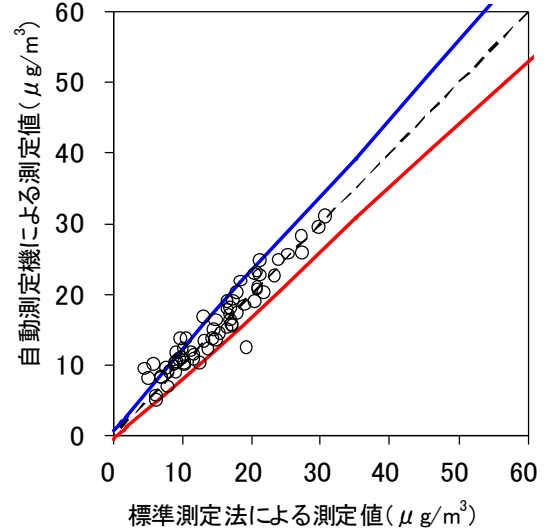
グループ1による評価

機種名	Model MP101M(CPM)・冬季
有効測定日数	97
自動測定機の有効データ数	83
ハズレ値の個数	14
r	24
K	1.361
傾き	0.91



Model MP101M(CPM)の冬季における管理限界線との関係

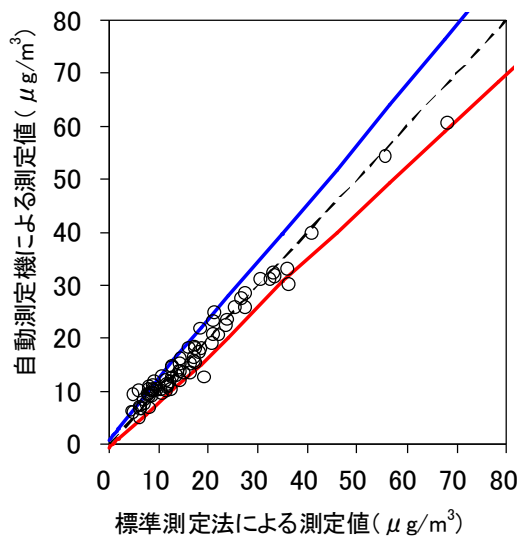
機種名	Model MP101M(CPM)・夏季
有効測定日数	72
自動測定機の有効データ数	63
ハズレ値の個数	11
r	23
K	1.200
傾き	0.93



Model MP101M(CPM)の夏季における管理限界線との関係

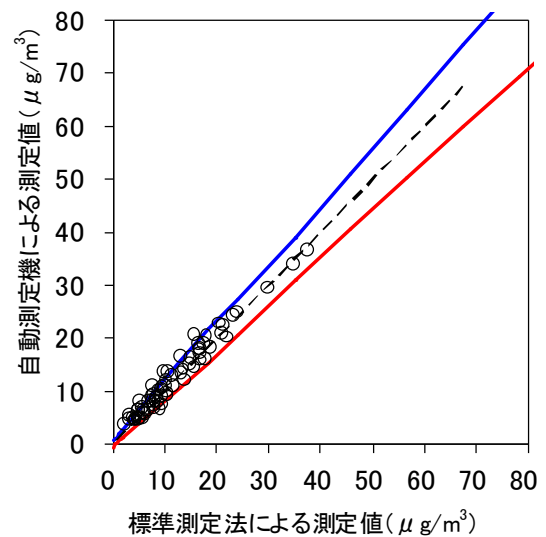
グループ2による評価

機種名	Model MP101M(CPM)・都市部
有効測定日数	86
自動測定機の有効データ数	76
ハズレ値の個数	11
r	24
K	1.292
傾き	0.90



Model MP101M(CPM)の都市部における管理限界線との関係

機種名	Model MP101M(CPM)・非都市部
有効測定日数	83
自動測定機の有効データ数	70
ハズレ値の個数	16
r	27
K	1.141
傾き	0.98

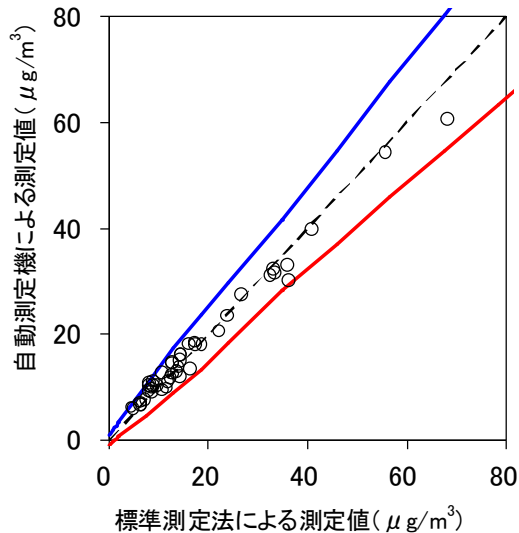


Model MP101M(CPM)の非都市部における管理限界線との関係

## C: フィールドごとに $P_R$ を最大化する方法

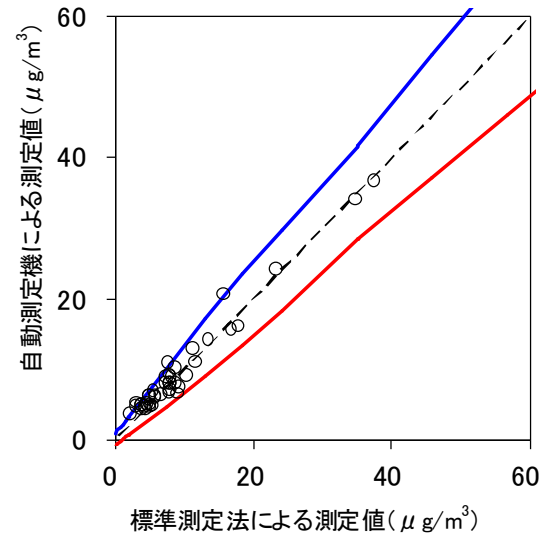
フィールドごとによる評価

機種名	Model MP101M(GPM)・都市部(冬)
有効測定日数	49
自動測定機の有効データ数	44
ハズレ値の個数	0
r	6
K	1.916
傾き	0.89



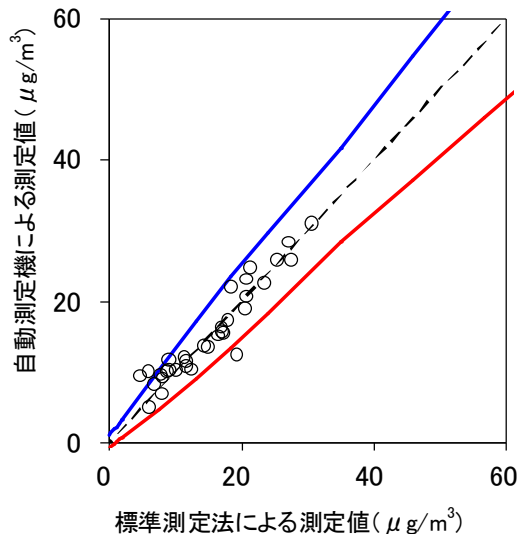
Model MP101M(GPM)の都市部(冬)における管理限界線との関係

機種名	Model MP101M(GPM)・非都市部(冬)
有効測定日数	48
自動測定機の有効データ数	41
ハズレ値の個数	5
r	6
K	1.884
傾き	0.96



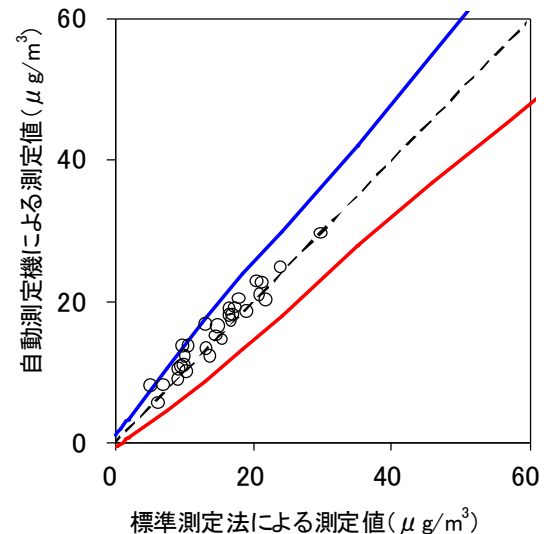
Model MP101M(GPM)の非都市部(冬)における管理限界線との関係

機種名	Model MP101M(GPM)・都市部(夏)
有効測定日数	37
自動測定機の有効データ数	33
ハズレ値の個数	3
r	5
K	1.904
傾き	0.92



Model MP101M(GPM)の都市部(夏)における管理限界線との関係

機種名	Model MP101M(GPM)・非都市部(夏)
有効測定日数	35
自動測定機の有効データ数	30
ハズレ値の個数	2
r	4
K	2.007
傾き	0.95



Model MP101M(GPM)の非都市部(夏)における管理限界線との関係

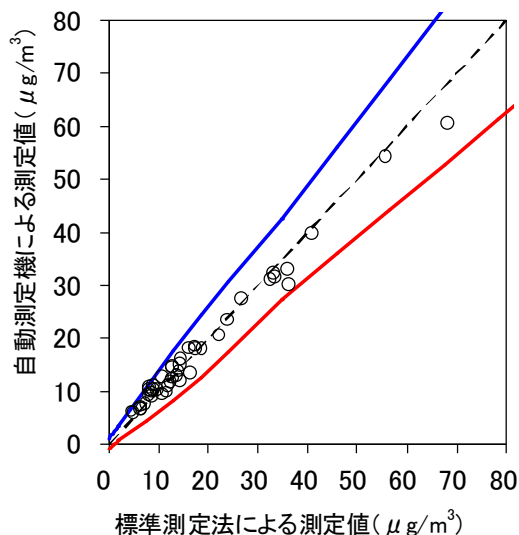
## D : フィールドごとに PR を固定する方法

### (1) $\alpha = \alpha'_1$ の場合

フィールドごとによる評価

#### 機種名 Model MP101M(GPM)・都市部(冬)

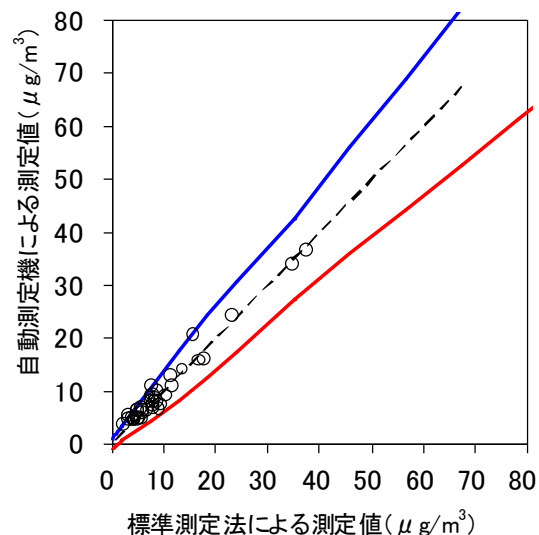
有効測定日数	49
自動測定機の有効データ数	43
ハズレ値の個数	0
r	5
K	2.185
傾き	0.89



Model MP101M(GPM)の都市部(冬)における管理限界線との関係

#### 機種名 Model MP101M(GPM)・非都市部(冬)

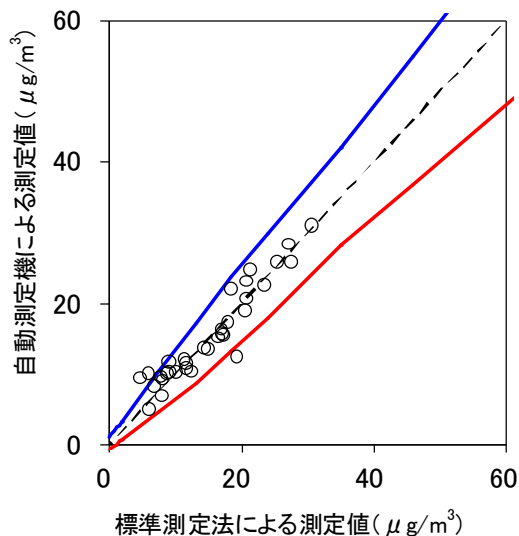
有効測定日数	48
自動測定機の有効データ数	40
ハズレ値の個数	5
r	6
K	2.185
傾き	0.96



Model MP101M(GPM)の非都市部(冬)における管理限界線との関係

#### 機種名 Model MP101M(GPM)・都市部(夏)

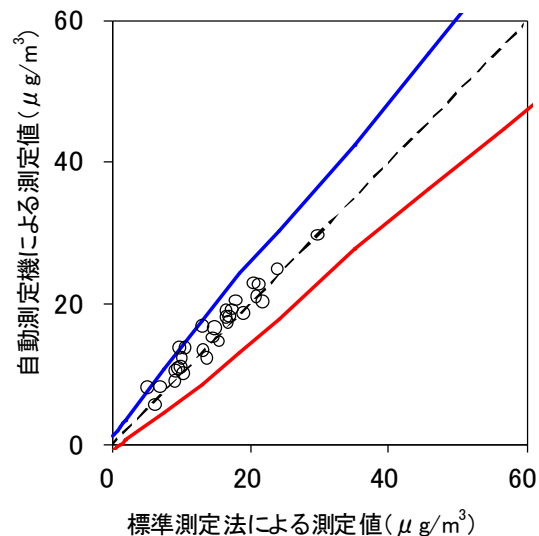
有効測定日数	37
自動測定機の有効データ数	33
ハズレ値の個数	3
r	5
K	1.980
傾き	0.92



Model MP101M(GPM)の都市部(夏)における管理限界線との関係

#### 機種名 Model MP101M(GPM)・非都市部(夏)

有効測定日数	35
自動測定機の有効データ数	30
ハズレ値の個数	2
r	4
K	2.098
傾き	0.95

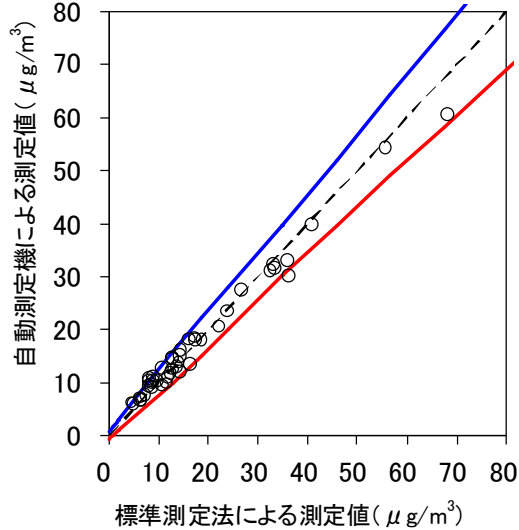


Model MP101M(GPM)の非都市部(夏)における管理限界線との関係

## (2) $\alpha = \alpha'_2$ の場合

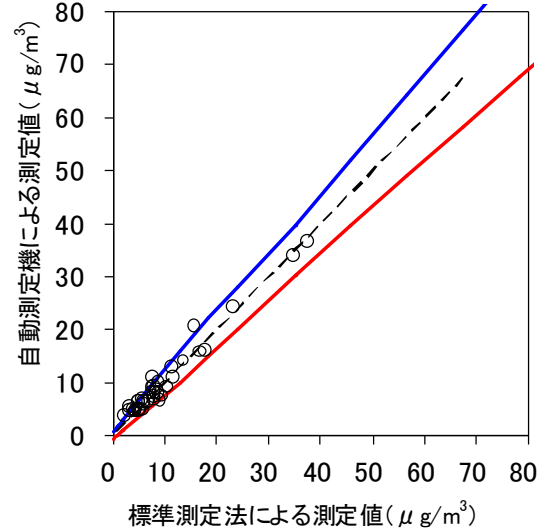
フィールドごとによる評価

機種名	Model MP101M(CPM)・都市部(冬)
有効測定日数	49
自動測定機の有効データ数	43
ハズレ値の個数	4
r	11
K	1.361
傾き	0.89



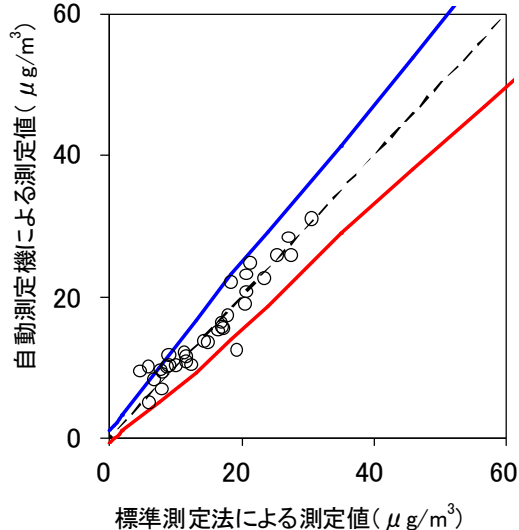
Model MP101M(CPM)の都市部(冬)における管理限界線との関係

機種名	Model MP101M(CPM)・非都市部(冬)
有効測定日数	48
自動測定機の有効データ数	40
ハズレ値の個数	9
r	13
K	1.361
傾き	0.96



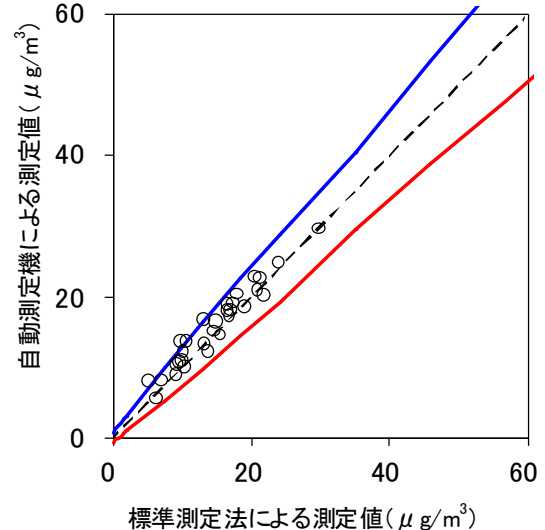
Model MP101M(CPM)の非都市部(冬)における管理限界線との関係

機種名	Model MP101M(CPM)・都市部(夏)
有効測定日数	37
自動測定機の有効データ数	33
ハズレ値の個数	3
r	7
K	1.733
傾き	0.92



Model MP101M(CPM)の都市部(夏)における管理限界線との関係

機種名	Model MP101M(CPM)・非都市部(夏)
有効測定日数	35
自動測定機の有効データ数	30
ハズレ値の個数	4
r	8
K	1.575
傾き	0.95



Model MP101M(CPM)の非都市部(夏)における管理限界線との関係